

Progressi nelle previsioni ECMWF a scala globale in supporto all'allertamento di eventi estremi



A 25 anni dall'alluvione del Piemonte del 1994

I progressi fatti nella previsione degli eventi estremi in quanto resta ancora da fare



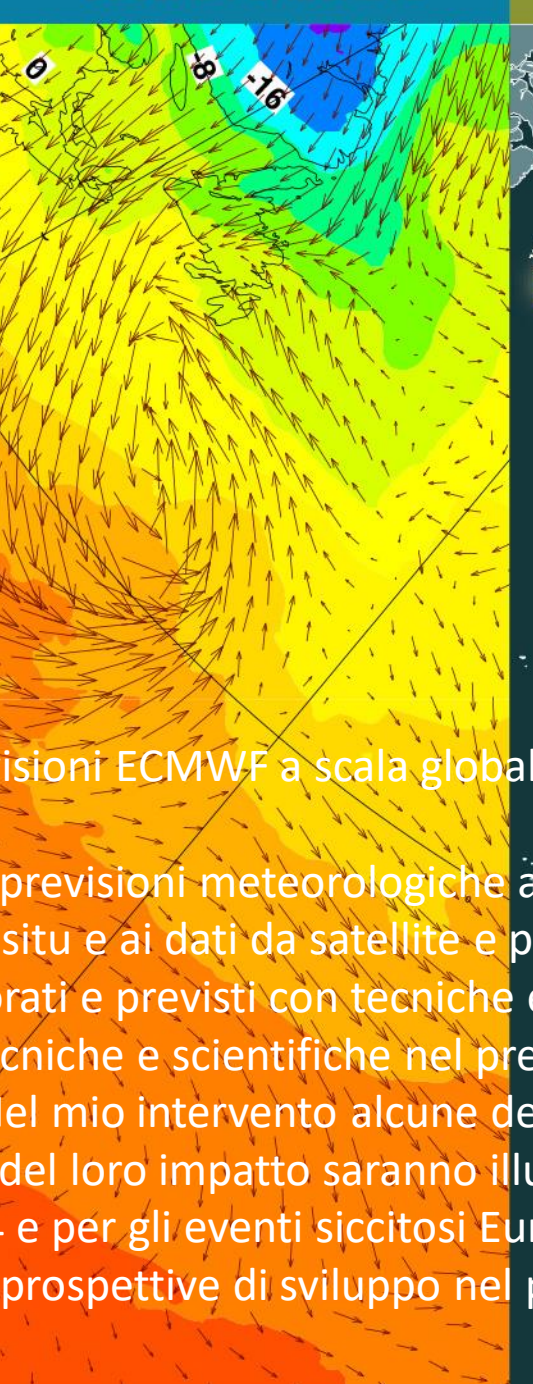
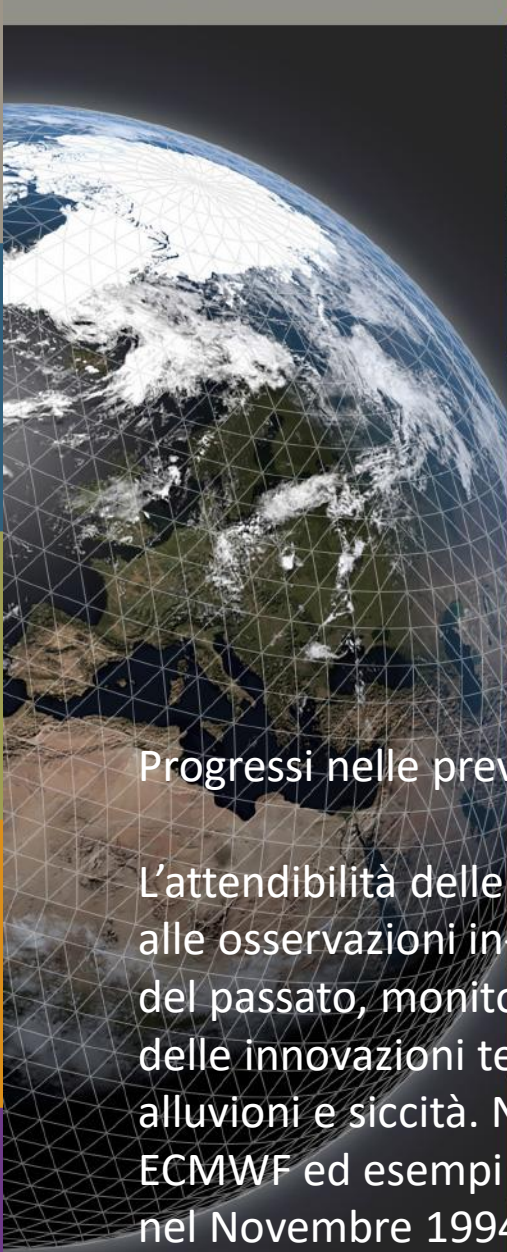
6 novembre 2019
Aula magna DISIT, ore 9.30
Alessandria, V.le T. Michel 11

Coordinamento scientifico: Prof. Enrico Ferrero
Dipartimento di Scienze e innovazione tecnologica, UPO

Interventi:

Dino Zardi (AISAM e Università di Trento) La meteorologia in Italia oggi: situazione, opportunità e prospettive; Renata Pelosi (ARPA Piemonte). L'inquadramento dal punto di vista meteorologico dell'evento alluvionale; Fabio Luino (IRPI - CNR), Evento alluvionale del 15-16 novembre 1994 lungo il bacino del Tanaro e il Po; Carlo Cacciamani (Dipartimento della Protezione Civile). Il sistema delle protezioni civili per gli eventi alluvionali; Francesco Della Corte (CRIMEDIM, UPO). Le conseguenze di un'escursione sismica nel bacino del Tanaro; Gianpaolo Balsamo (ECMWF). Progressi delle previsioni in meteorologia a lungo scalo; Giorgio Melchiorri (Coordinamento Protezione Civile Provincia di Alessandria). Il volontario grande scalo; Gianpaolo Balsamo (Coordinamento Protezione Civile Provincia di Alessandria), Il volontario grande scalo.

Confronto tra le simulazioni dell'evento alluvionale fatto con i modelli odierni e quelle fatte con i modelli d'allora. Presiede Roberto Bulzoni (Scuola Universitaria Superiore Sant'Anna di Pisa); Massimo Milletti (ARPA Piemonte). Modellistica ad alto risolvente (CIMA); Silvio Davolos (ISAC-CNR), La modellistica presso l'Istituto Superiore CIMA; Antonio Pandolfi (Foundazione CIMA). La modellistica a basso risolvente presso l'Istituto Superiore CIMA; Valerio Cappelletti (Consorzio LAMMA). La modellistica presso i servizi di LAMMA; Riccardo Bonanno (RSF). Il dataset di dati storici e contemporanei; M. ERDÀ (Istituto di Ricostruzione dei Geocatena). Recanzone. In funzione Gianpaolo Balsamo (ECMWF). Progressi con un focus sulla filiera del Piemonte nel 1994 con particolare riferimento al clima d'ECMWF; Claudio Cassardo (Università di Torino). La modellistica presso la Difesa e il Dpsmt entro il Psic; Stefano Alessandrini (NCAR). Stazioni elettroniche legate ad una risoluzione della alluvione del 1994.



Progressi nelle previsioni ECMWF a scala globale in supporto all'allertamento di eventi estremi.

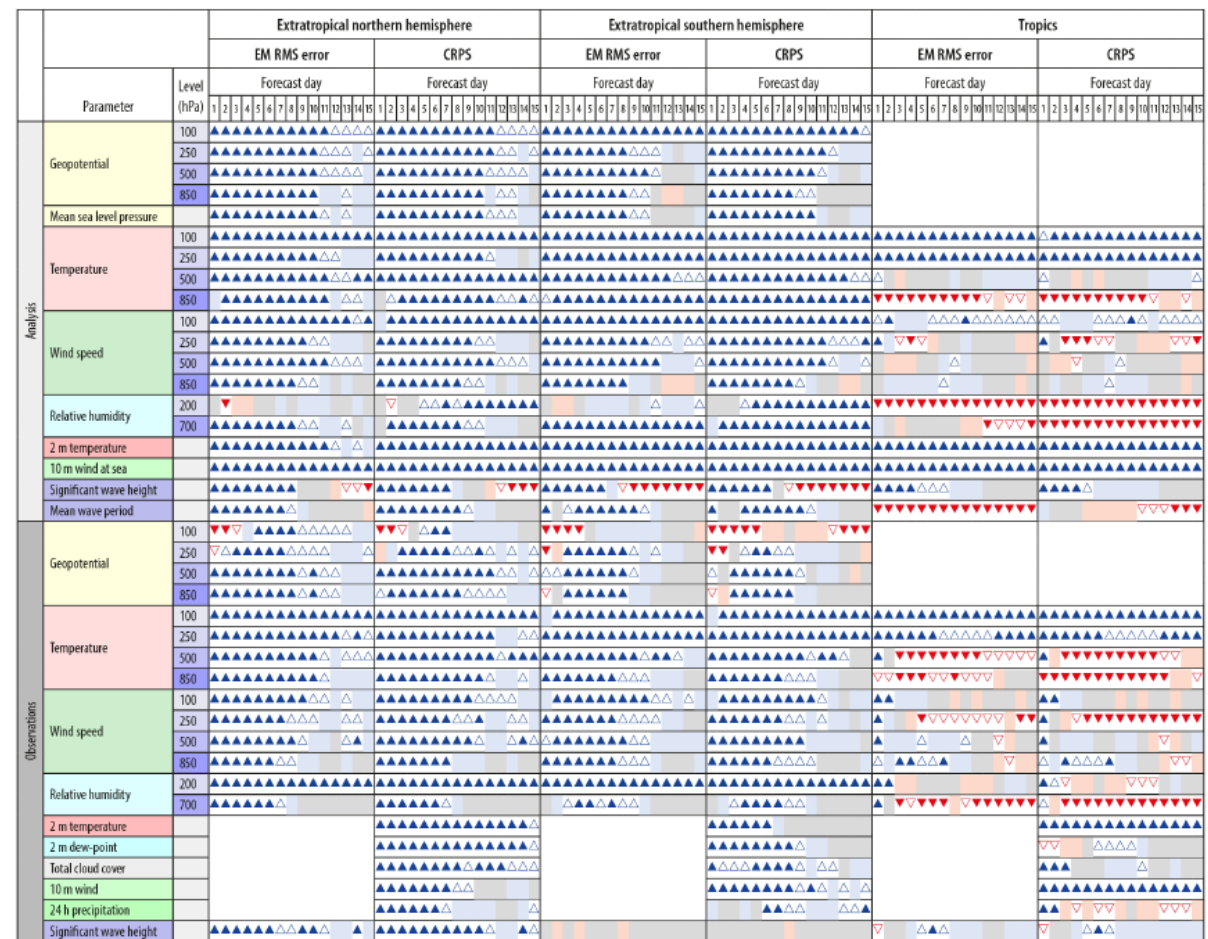
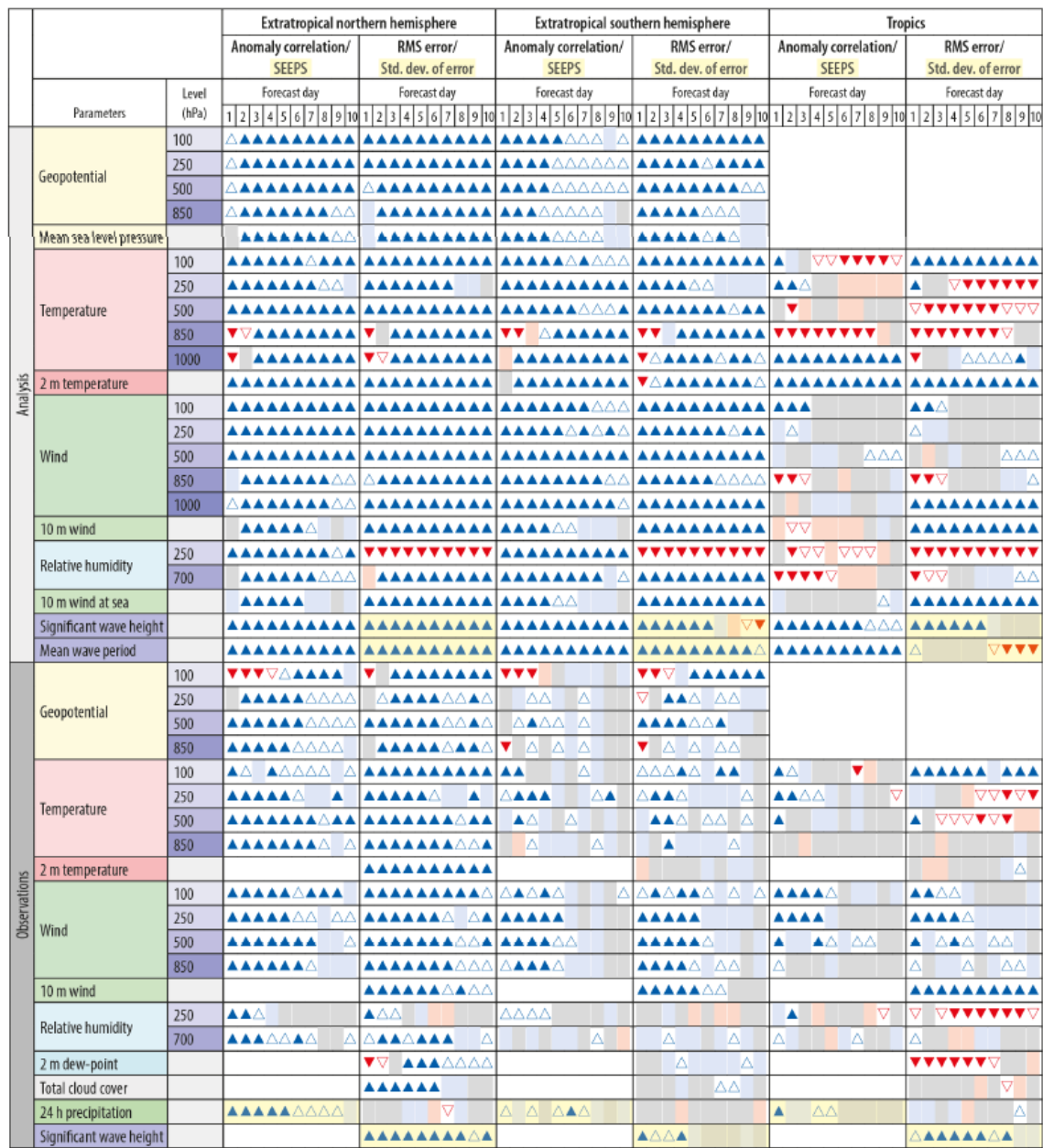
L'attendibilità delle previsioni meteorologiche a scala globale avanza in maniera progressiva e verificabile grazie alle osservazioni in-situ e ai dati da satellite e permette di confrontare la qualità delle previsioni per eventi estremi del passato, monitorati e previsti con tecniche e modelli attuali. Questo esercizio consente di dimostrare l'impatto delle innovazioni tecniche e scientifiche nel prevedere, allertare e mitigare gli effetti di eventi estremi quali alluvioni e siccità. Nel mio intervento alcune delle innovazioni introdotte nella modellistica del sistema Terra ad ECMWF ed esempi del loro impatto saranno illustrati in particolare per l'evento alluvionale che colpì il Piemonte nel Novembre 1994 e per gli eventi siccitosi Europei del 2003, 2010 e 2018 al fine di illustrare il progresso fatto fin qui ed alcune delle prospettive di sviluppo nel prossimo futuro.



ECMWF OGGI

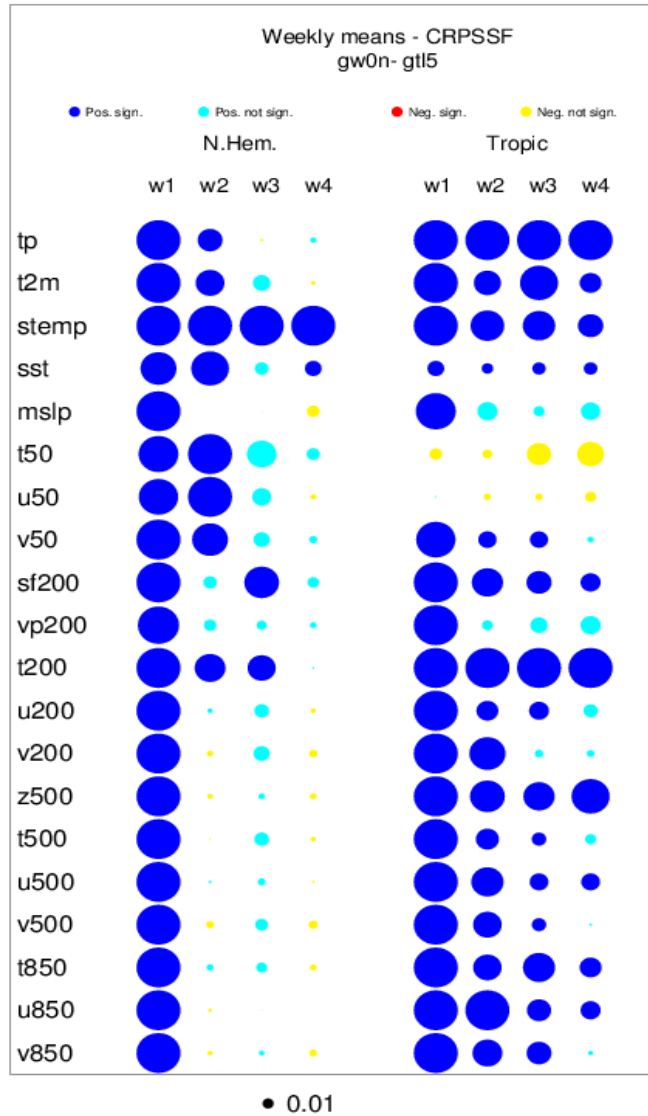


Delivering global predictions: IFS cycle 46r1 June 2019



Use of ERA5 to initialize Subseasonal Re-forecasts (CY46R1, June 2019)

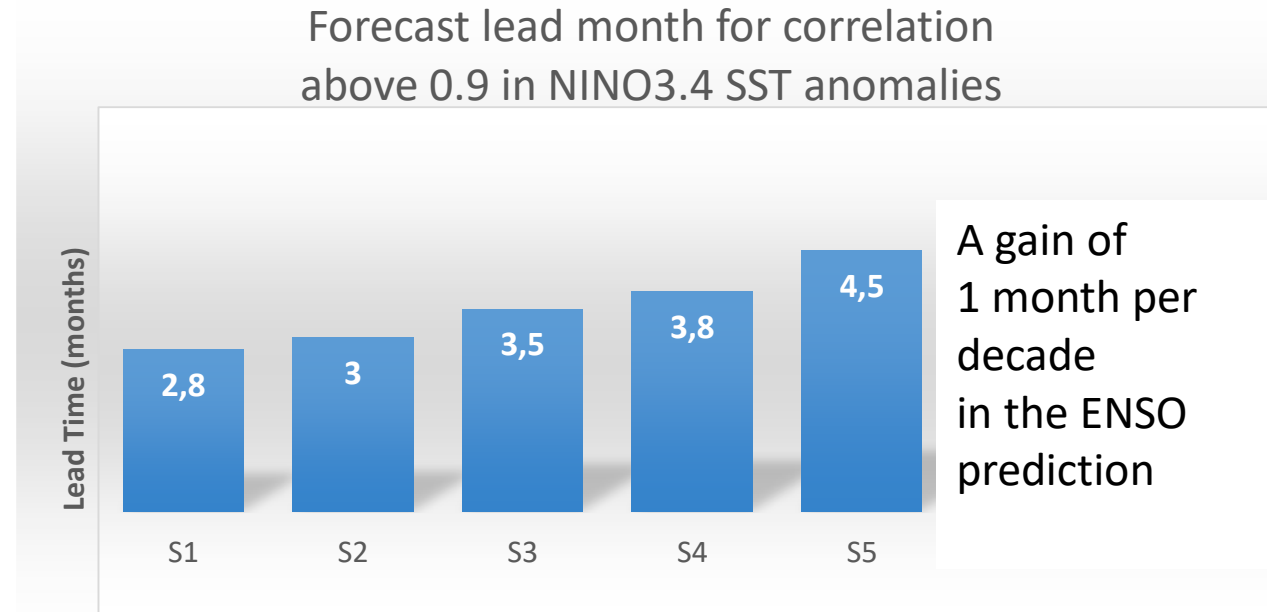
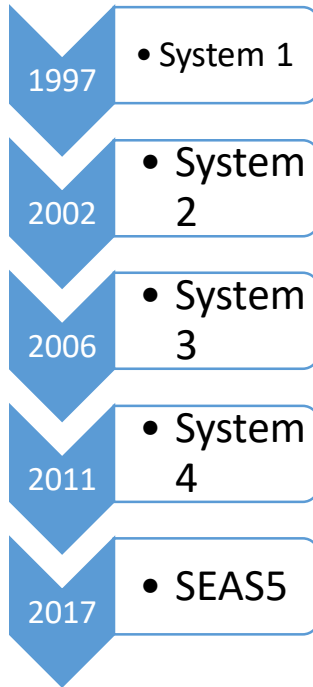
Scorecard ERA5 vs EI initialization



Changes introduced in 46R1:

- ERA5 is now used to initialize the re-forecasts
- ERA5 EDA is used to perturb initial conditions
- Land surface is initialized from ERA5 instead of from an offline re-analysis

Progress in ENSO prediction at ECMWF in SEASONAL systems



Mid-latitude seasonal skill and teleconnections more challenging



Satellite
observations

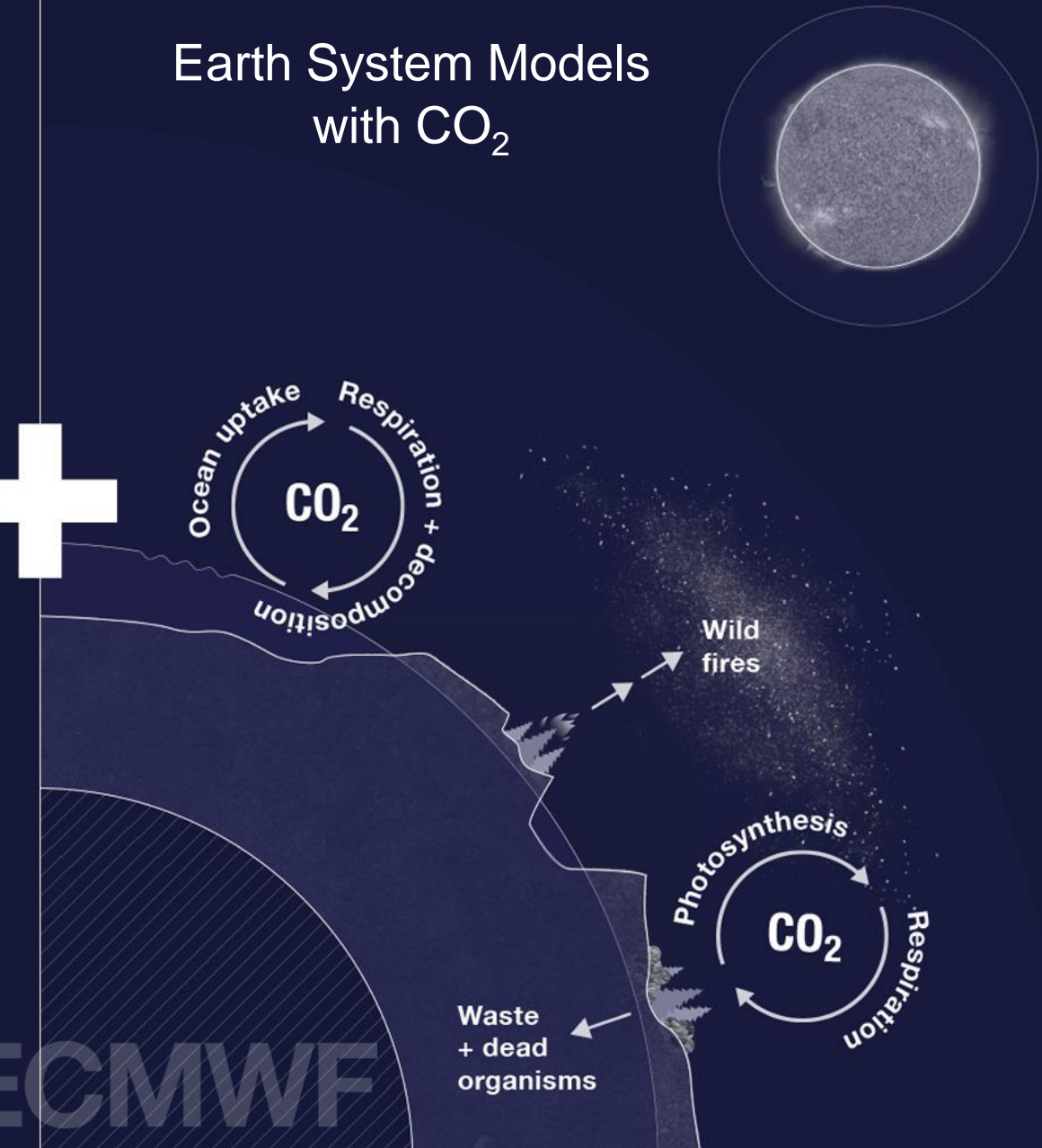


In-situ
observations



Earth System Models
with CO₂

ECMWF





Quanta strada è stata fatta in 25 Anni dal 1994



ECMWF has a long experience with reanalysis

Atmosphere/land

1) 1979 - 1981

FGGE

2) 1994 - 1996

ERA-15

including ocean waves

3) 2001 - 2003

ERA-40

4) 2006 - ...

ERA-Interim



5) 2016 - ...

ERA5

Ocean

2006

ORAS3

2010 - ...

ORAS4

including sea ice

2016 - ...

ORAS5



Centennial

2013 - 2015

ERA-20CM/20C

Coupled

2016

CERA-20C

2017

CERA-SAT

Enhanced land

2012

ERA-Int/Land

2014

ERA-20C/Land

2018 - ...

ERA5L



Atmospheric composition

2008 - 2009

GEMS

2010 - 2011

MACC



2017 - ...

CAMS



ERA5 has now replaced ERA-Interim

ERA-Interim not available for dates beyond **August 2019**

Migration to ERA5 has (mostly) completed

Skill of ERA5 re-forecasts:

Up to one day gain with respect to ERA-Interim

Improvements compared to ERA-Interim:

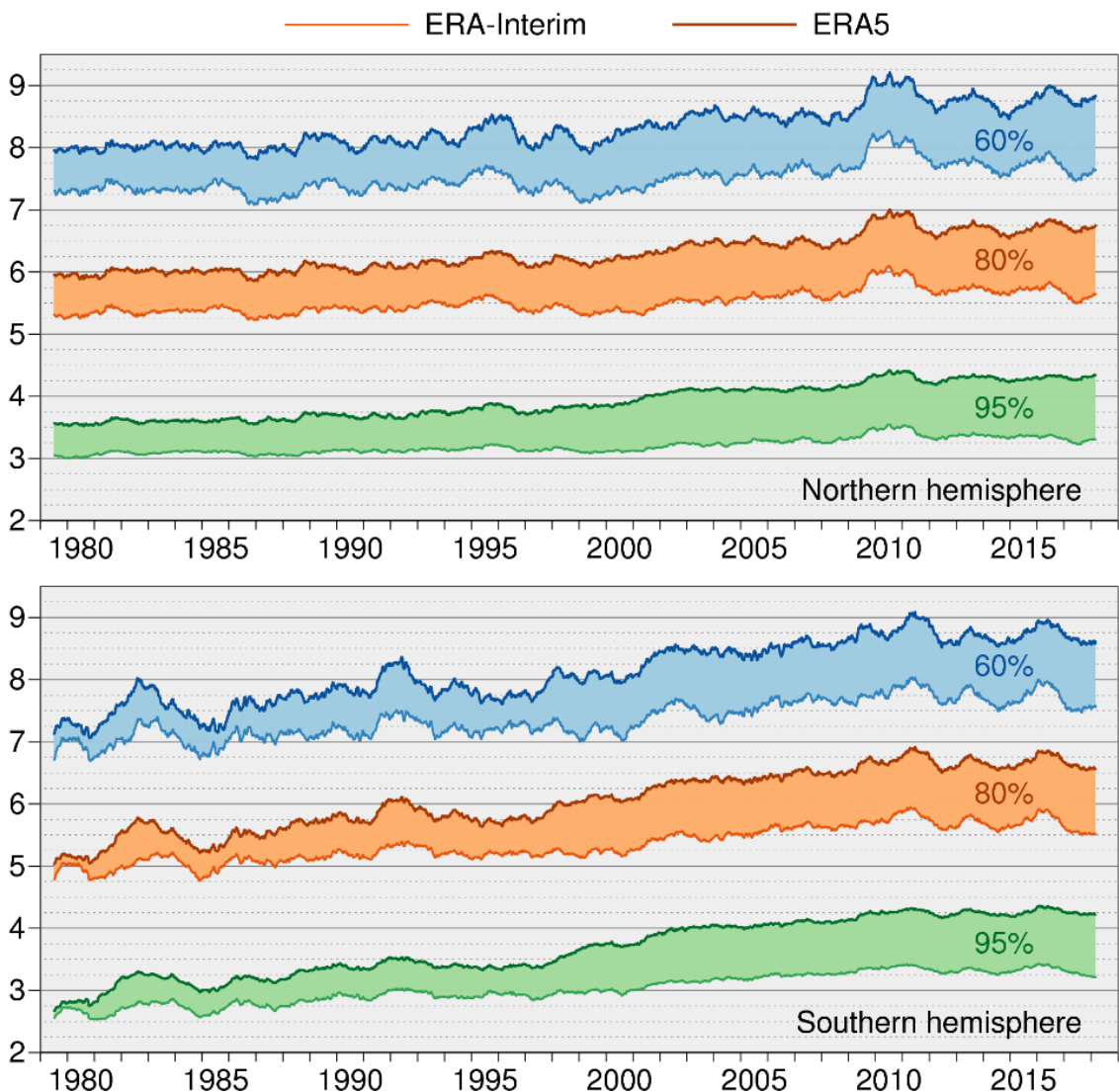
- Benefit from 10 years model development (2006 to 2016)
- Much higher resolution; **31km** versus 80km
- More and better input data
- **Hourly output**
- 10-member EDA-based **uncertainty estimate** (at 63km)

ERA5 is available in the C3S climate data store (CDS):

Currently: 1979 onwards, 2-3 months behind real time

By end 2019: **timely updates**, ERA5T, 2-5 days latency

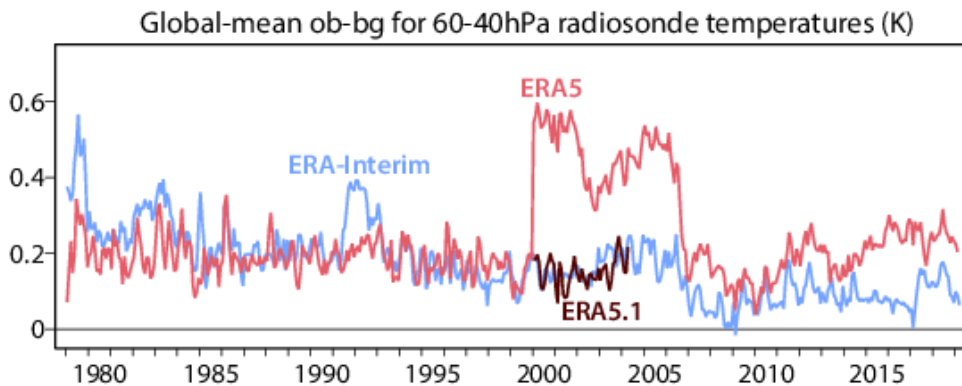
Range (days) when 365-day mean 500hPa height AC (%) falls below threshold



The back extension and other ERA5 datasets

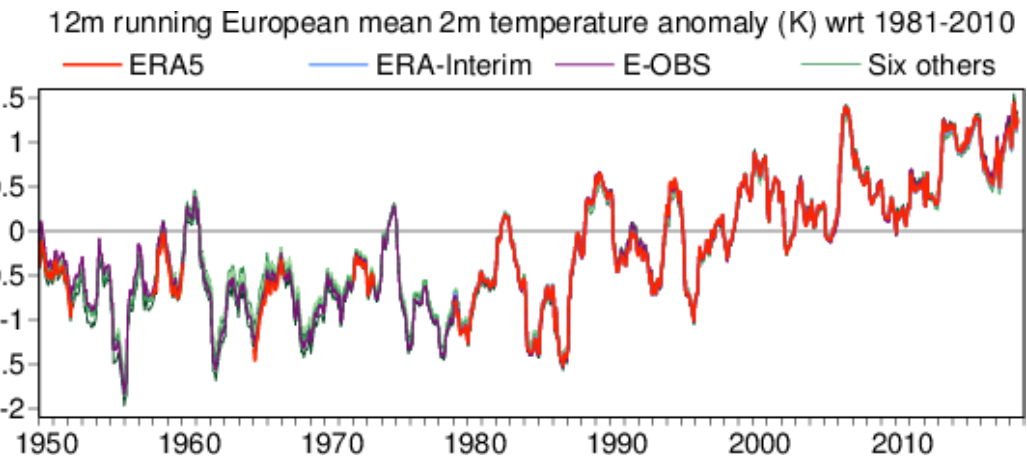
ERA5 back extension:

1950-1978, to be available **2020 Q2**



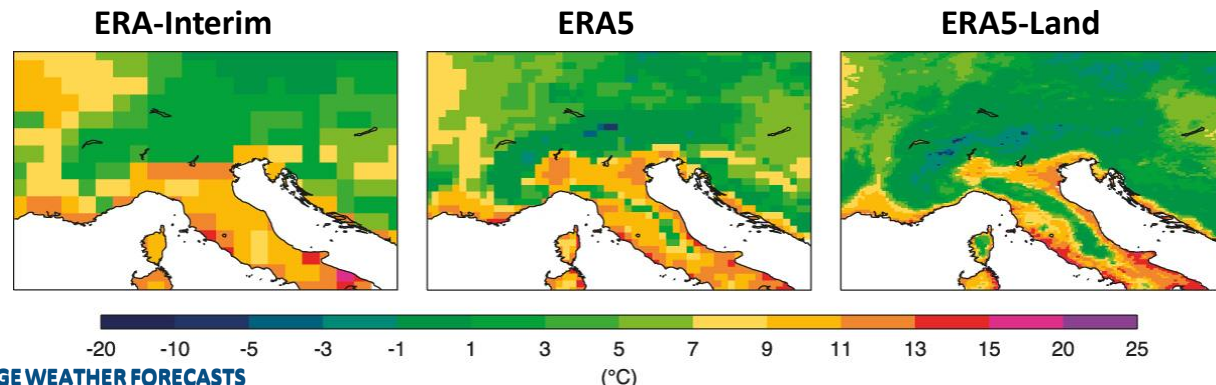
ERA5 land: available in the CDS from 2001

1981-2000 later this year; **2020**: back to 1950
9km Land downscaling from ERA5



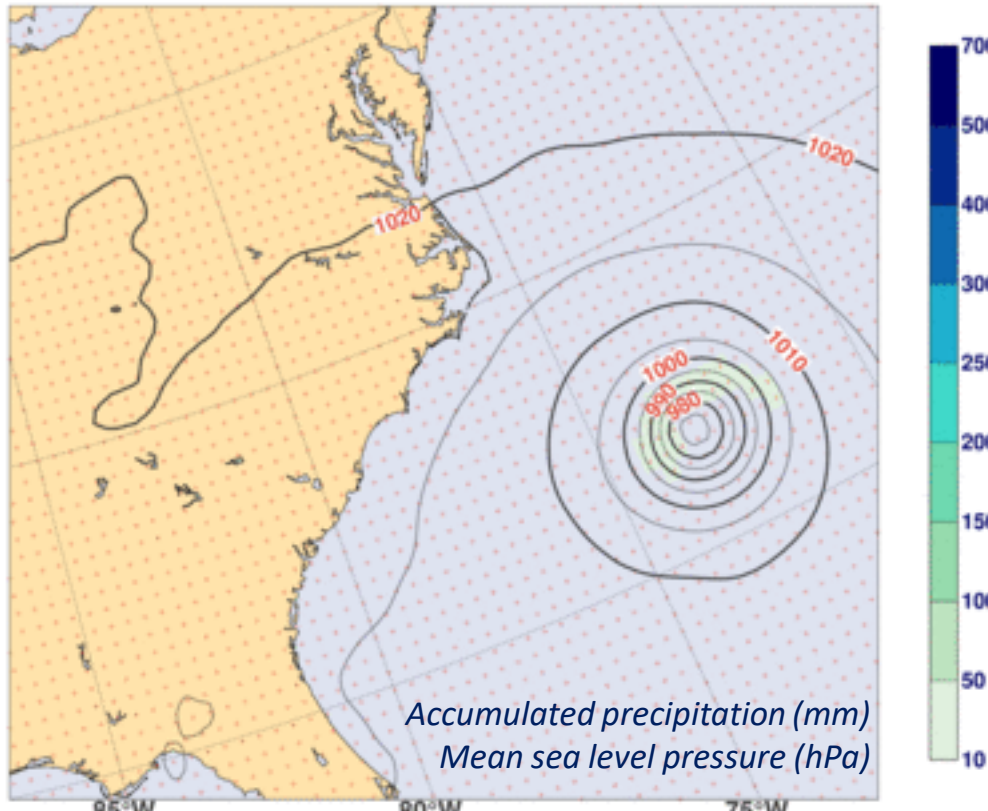
ERA5.1: period 2000-2006, to be available **2020 Q1**.

- ✓ restore climate quality for stratospheric temperature
- ✓ Use more appropriate background correlation lengths
- ✓ Need: until availability of COSMIC GNSS-RO 2006



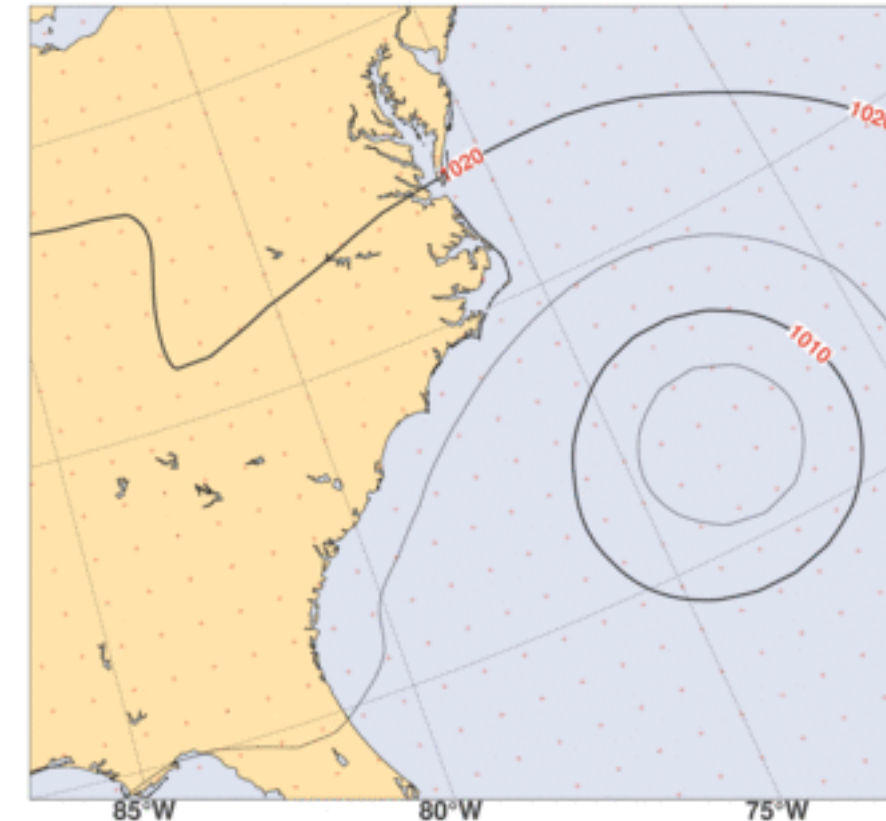
Better model, better and more observations, higher resolution
New: hourly output

Florence Thu 13 Sep 2018, 01 UTC for ERA5



ERA5

Florence Thu 13 Sep 2018, 01 UTC for ERA-Interim



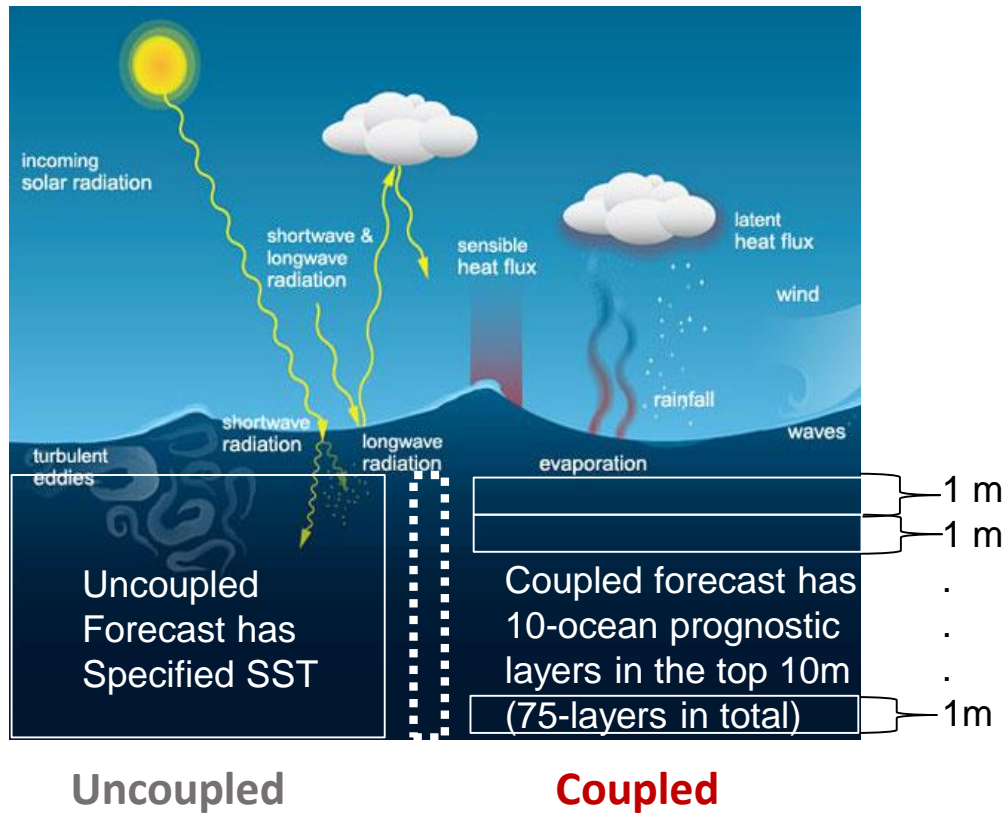
ERA-Interim/ERA-40



La Ricerca di ECMWF per migliorare la performance in eventi estremi



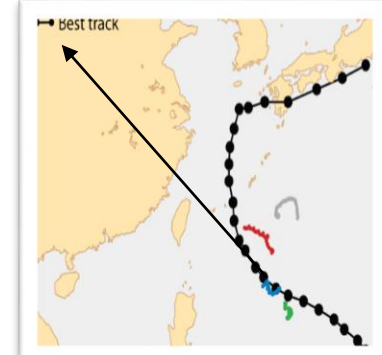
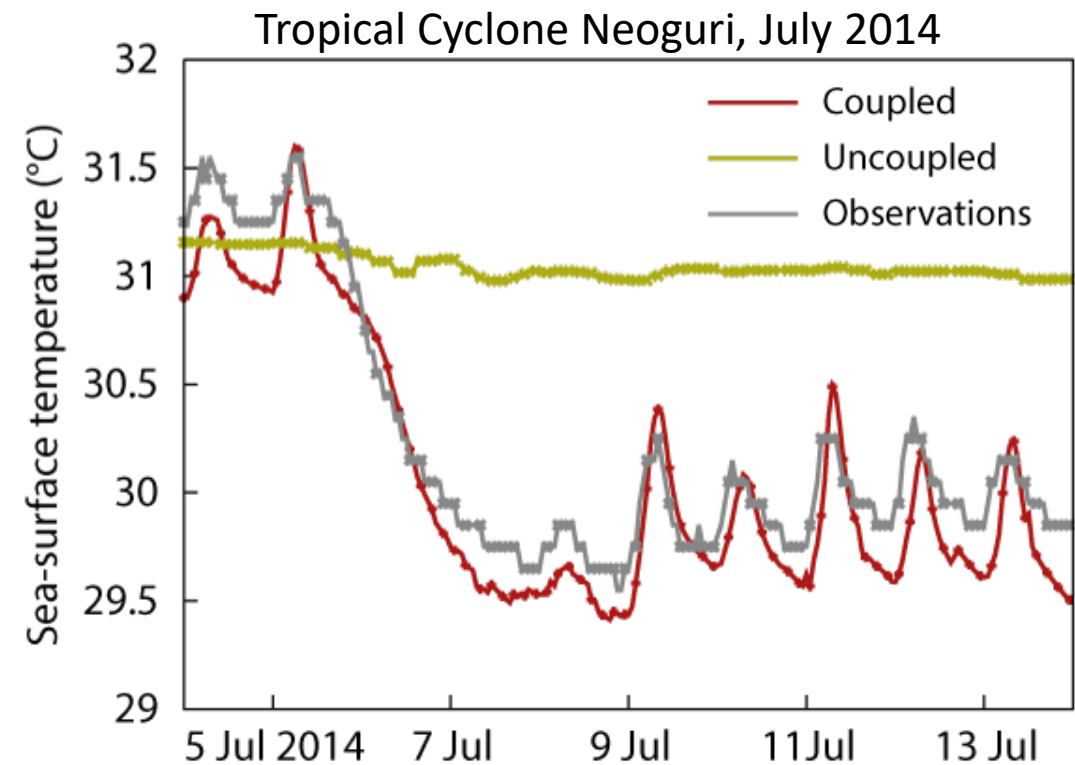
Ocean-coupling and sea surface temperature (SST) validated with in-situ



Uncoupled

Coupled

- The ECMWF Ocean-coupled (red) model is better simulate the cool wake after the passage of Tropical cyclone Neoguri. A more realistic response is observed comparing the 10-day forecast with an on-track DRIBU observation of SST, both for TC passage and diurnal cycle



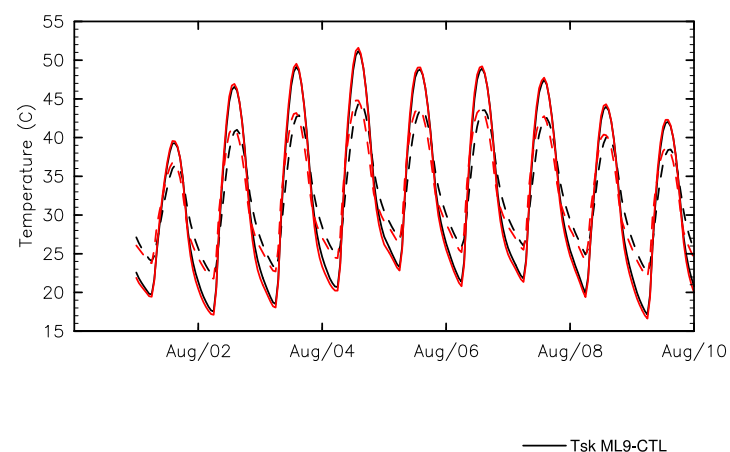
Impact of the soil model vertical resolution: heatwaves severity

Extreme heat warnings across southern Europe as temperatures hit 40°C and above

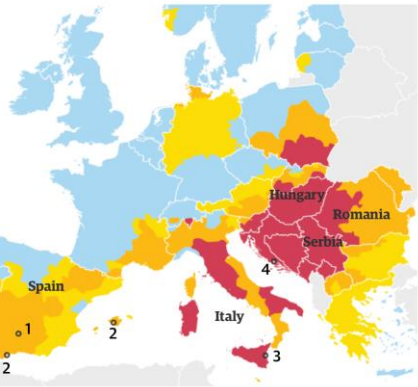
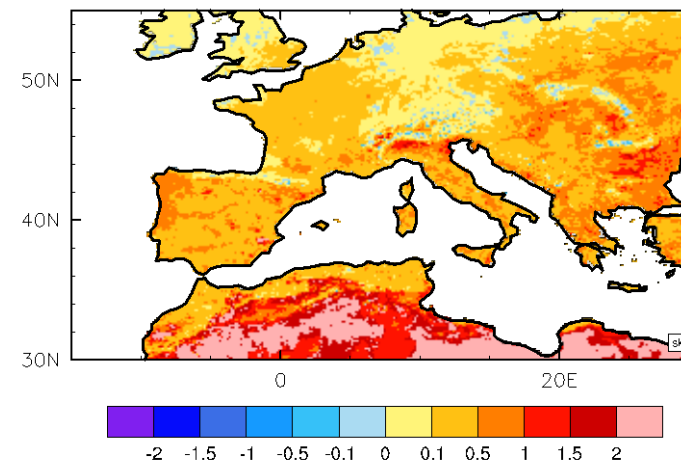
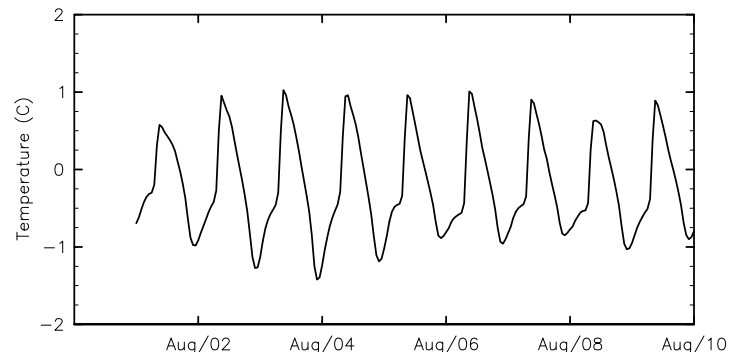
Not dangerous Potentially dangerous
Dangerous Very dangerous

During summer 2017 the effect of multi-layer is examined for European heatwave, here shown for Cordoba (Spain) where temperatures went above 40° Celsius on the 6th of August 2017

ECMWF
Land model
ML9 & ML4
(offline)



Difference
ML9-ML4
soil model
(offline)

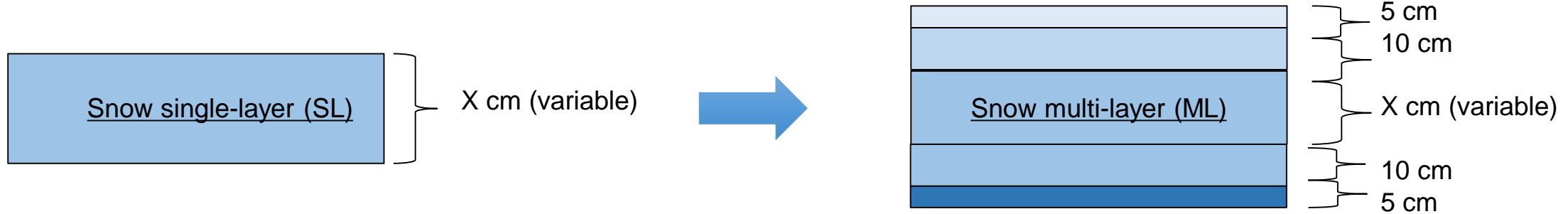


Differences in
the maximum
skin temperature
ML9-ML4

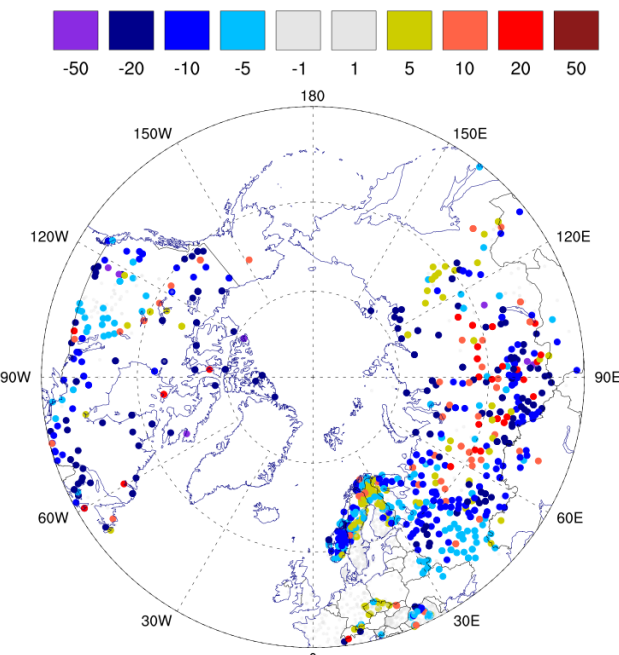
An enhanced soil vertical discretisation is increasing the amplitude
of the diurnal cycle. Extremes heatwave are up to 1 K hotter

Increased snow model vertical resolution: impact in cold regions climate

Increased vertical discretization of the H-TESSEL snowpack (**up to 5 layers**) permits a better physical processes representation

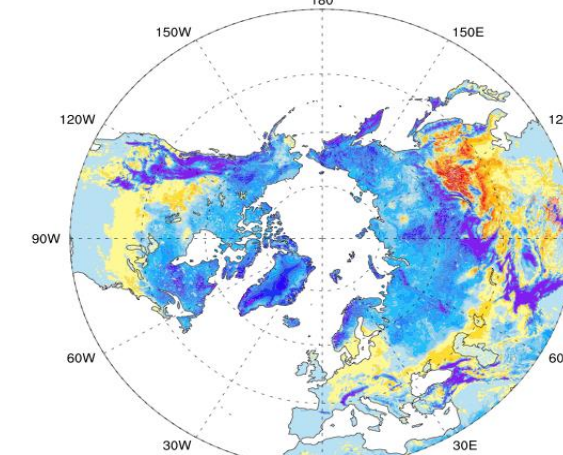


Difference ML- SL in Snow depth RMSE winter (DJF)



An improved snow depth (ML – SL) evaluated with in-situ SYNOP snow depth. RMSE of 0.19m (0.23m) in ML (SL). This is 17% RMSE error reduction in snow depth.

Difference ML - SL in T_{skin} minimum winter (DJF)



Winter reduction of the 2m minima temperatures with increasing diurnal-cycle. DIFF Tmin 2-4 K colder in ML compared to SL snow. Increased variability

EUROPEAN CENTRE FOR MEDIUM-RANGE WEATHER FORECASTS

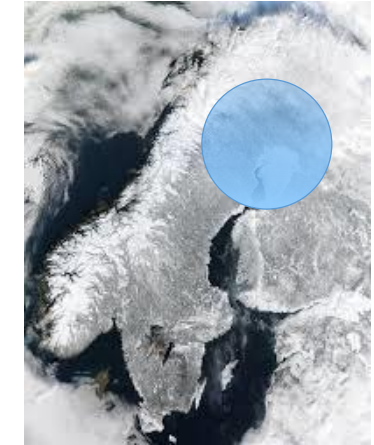
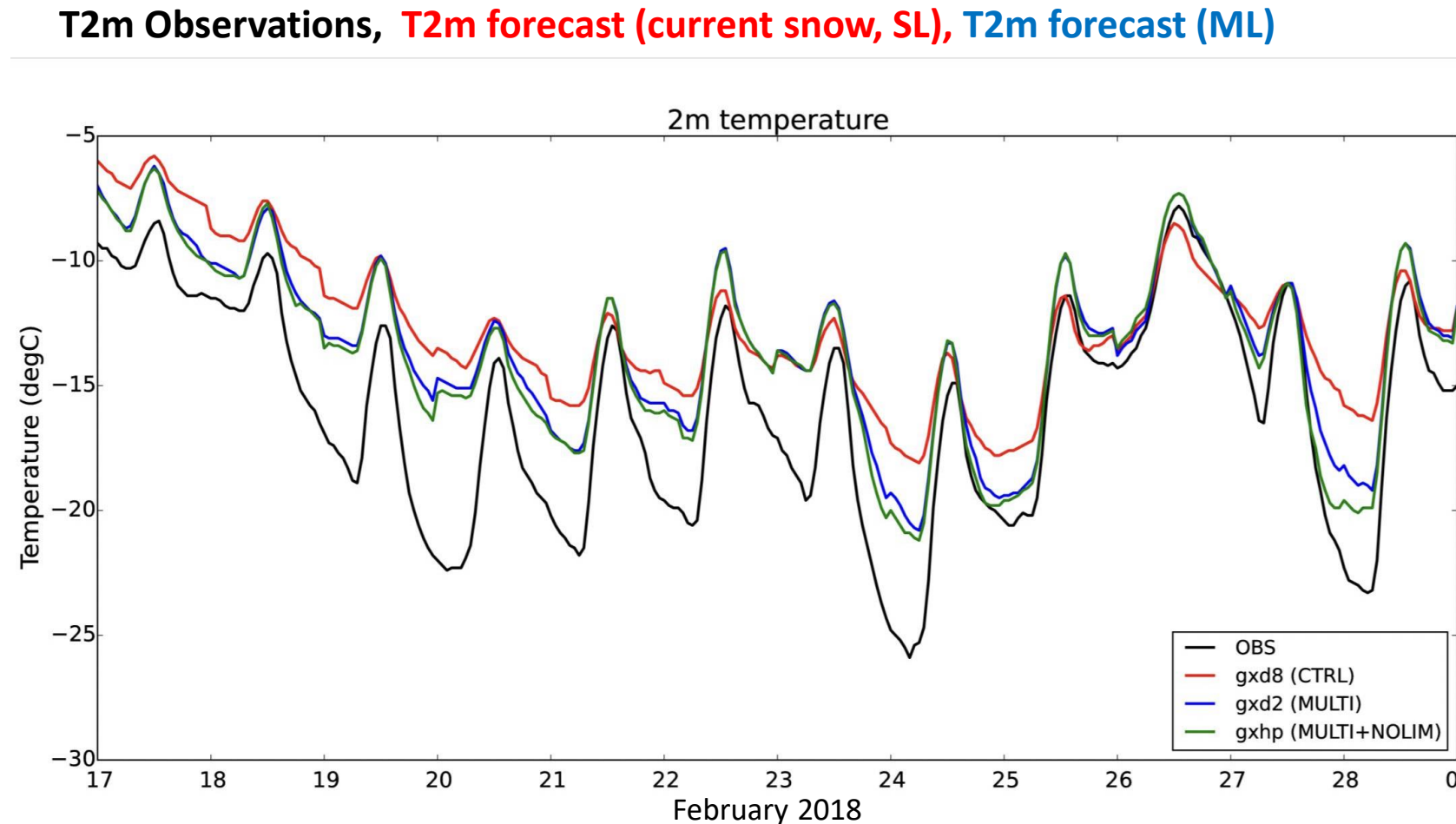
Reducing

Increasing 15

Thanks to
Gabriele Arduini,
Jonny Day,
Linus Magnusson

Impact of snow model vertical resolution increase on near surface temperature

Increased vertical discretization of the snowpack (**up to 5 layers**) permits a better 2-m forecast: here hourly day-2 forecasts are shown for 24-hour to 47-hour ahead, concatenated to form a continuous time-series



In clear-sky the MULTI-layer snow scheme is capable to produce stronger winter inversions improving observation match.

The increased variability in the diurnal cycle is beneficial for ensemble forecasting.

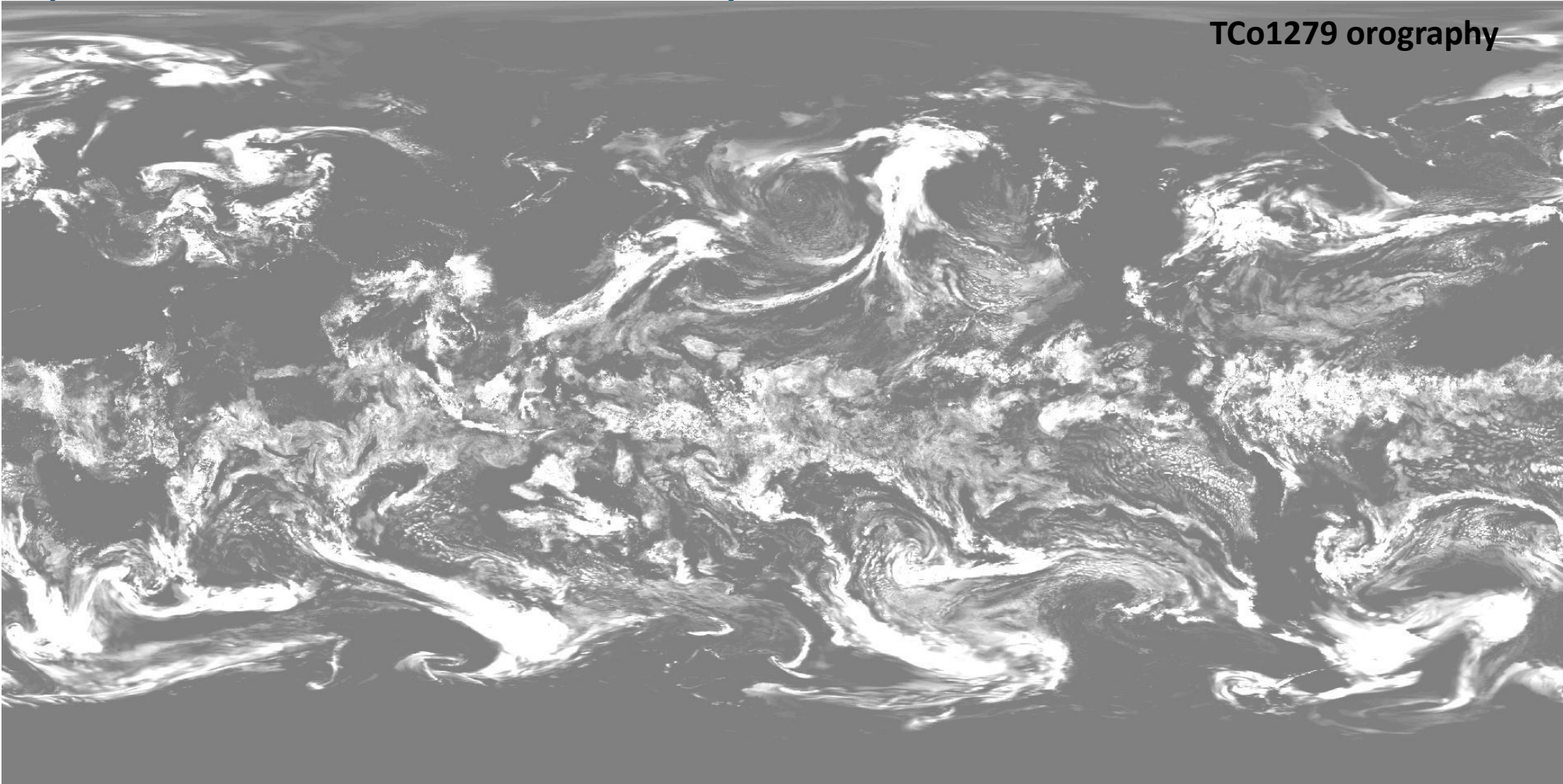
Thanks to Gabriele Arduini, Thomas Haiden, Irina Sandu & USURF Team



Uno sguardo verso il future di ECMWF

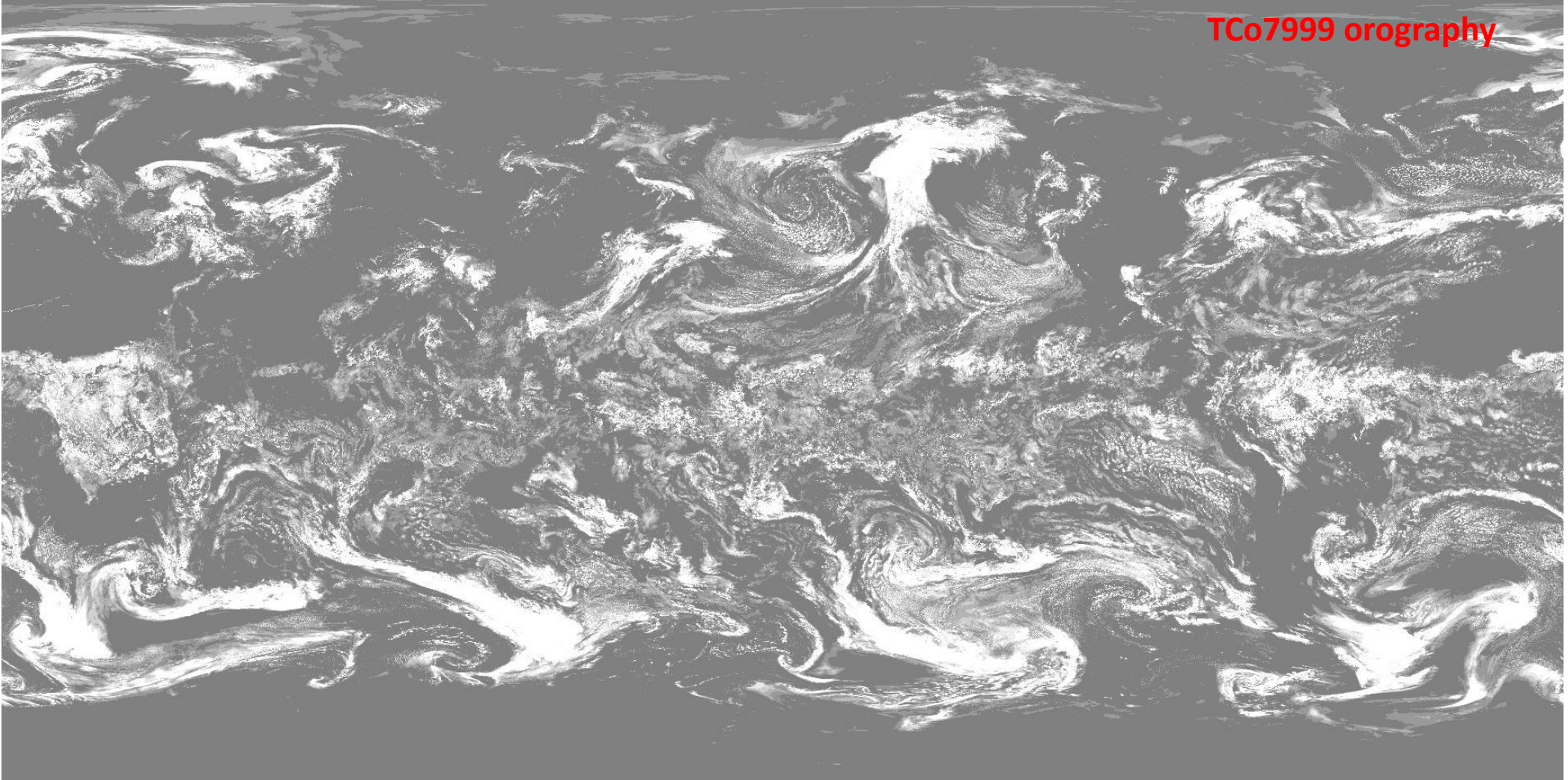


Current km-scale: TCo1279 (\sim 9km) highest global operational NWP today



(12h forecast, *hydrostatic*, with deep convection parametrization, 450s time-step, 240 Broadwell nodes, \sim 0.75s per timestep)

Towards km-scale: TCo7999 test-case (~1.3km) highest NWP test @ ECMWF



(12 h forecast, *hydrostatic*, no deep convection parametrization, 120s time-step, 960 Broadwell nodes, ~6s per timestep in SP)



Thanks to Nils Wedi and NM-Team

Equivalent to 256 Megapixel camera





Il valore aggiunto di ECMWF per gli Stati Membri

Un quarto di secolo dal 1994 ha permesso di:

passare da risoluzioni di 100km (300km ENS) a 9 km (18km ENS)
migliorare la qualità previsionale a medio terming di oltre 2 giorni
migliorare le capacità previsionali alla scala stagionale di 1 mese
migliorare il monitoraggio tramite reanalisi climatiche operative
estendere le capacità alla previsione ambientale multi-hazards